

SKRIPSI

STUDI KALIBRASI DEFORMASI DINDING DIAFRAGMA DENGAN METODE ELEMEN HINGGA SATU DIMENSI DAN TIGA DIMENSI PADA GALIAN DALAM DENGAN DAN TANPA BUTTRESS WALL



**ROY ADRIANTO
NPM : 2016410003**

PEMBIMBING: Aswin Lim, Ph.D.

KO-PEMBIMBING: Ignatius Tommy Pratama, S.T., M.S.

**UNIVERSITAS KATOLIK PARAHYANGAN
FAKULTAS TEKNIK PROGRAM STUDI TEKNIK SIPIL
(Terakreditasi Berdasarkan SK BAN-PT Nomor: 1788/SK/BAN-PT/Akred/S/VII/2018)**

**BANDUNG
FEBRUARI 2021**

SKRIPSI

STUDI KALIBRASI DEFORMASI DINDING DIAFRAGMA DENGAN METODE ELEMEN HINGGA SATU DIMENSI DAN TIGA DIMENSI PADA GALIAN DALAM DENGAN DAN TANPA BUTTRESS WALL



**ROY ADRIANTO
NPM : 2016410003**

PEMBIMBING: Aswin Lim, Ph.D.

KO-PEMBIMBING: Ignatius Tommy Pratama, S.T., M.S.

**UNIVERSITAS KATOLIK PARAHYANGAN
FAKULTAS TEKNIK PROGRAM STUDI TEKNIK SIPIL
(Terakreditasi Berdasarkan SK BAN-PT Nomor: 1788/SK/BAN-PT/Akred/S/VII/2018)**

**BANDUNG
FEBRUARI 2021**

SKRIPSI

STUDI KALIBRASI DEFORMASI DINDING DIAFRAGMA DENGAN METODE ELEMEN HINGGA SATU DIMENSI DAN TIGA DIMENSI PADA GALIAN DALAM DENGAN DAN TANPA BUTTRESS WALL



ROY ADRIANTO
NPM : 2016410003

PEMBIMBING

A handwritten signature in purple ink, appearing to read "Aswin".

Aswin Lim, Ph.D.

KO-PEMBIMBING

A handwritten signature in black ink, appearing to read "Ignatius".

Ignatius Tommy P., S.T., M.S.

UNIVERSITAS KATOLIK PARAHYANGAN
FAKULTAS TEKNIK PROGRAM STUDI TEKNIK SIPIL
(Terakreditasi Berdasarkan SK BAN-PT Nomor: 1788/SK/BAN-PT/Akred/S/VII/2018)

BANDUNG
FEBRUARI 2021

PERNYATAAN

Yang bertandatangan di bawah ini, saya dengan data diri sebagai berikut:

Nama : Roy Adrianto

NPM : 2016410003

Program Studi : Teknik Sipil

Fakultas Teknik, Universitas Katolik Parahyangan

Menyatakan bahwa skripsi dengan judul:

Studi Kalibrasi Deformasi Dinding Diafragma Dengan Metode Elemen Hingga Satu Dimensi Dan Tiga Dimensi Pada Galian Dalam Dengan Dan Tanpa Buttress Wall adalah benar-benar karya saya sendiri di bawah bimbingan dosen pembimbing. Saya tidak melakukan penjiplakan atau pengutipan dengan cara-cara yang tidak sesuai dengan etika keilmuan yang berlaku dalam masyarakat keilmuan. Apabila di kemudian hari ditemukan adanya pelanggaran terhadap etika keilmuan dalam karya saya, atau jika ada tuntutan formal atau non formal dari pihak lain berkaitan dengan keaslian karya saya ini, saya siap menanggung segala resiko, akibat, dan/atau sanksi yang dijatuhkan kepada saya, termasuk pembatalan gelar akademik yang saya peroleh dari Universitas Katolik Parahyangan.

Dinyatakan: di Yogyakarta

Tanggal: 25 Januari 2021



Roy Adrianto
2016410003

STUDI KALIBRASI DEFORMASI DINDING DIAFRAGMA DENGAN METODE ELEMEN HINGGA SATU DIMENSI DAN TIGA DIMENSI PADA GALIAN DALAM DENGAN DAN TANPA BUTTRESS WALL

Roy Adrianto

NPM: 2016410003

Pembimbing : Aswin Lim, Ph.D.

Ko-Pembimbing : Ignatius Tommy Pratama, S.T., M.S.

UNIVERSITAS KATOLIK PARAHYANGAN

FAKULTAS TEKNIK PROGRAM STUDI TEKNIK SIPIL

(Terakreditasi Berdasarkan SK BAN-PT Nomor: 1788/SK/BAN-PT/Akred/S/VII/2018)

BANDUNG

FEBRUARI 2021

ABSTRAK

Pada umumnya analisis deformasi dinding dengan dan tanpa buttress wall dilakukan dengan pendekatan metode elemen hingga tiga dimensi dan satu dimensi. Pada analisis metode elemen hingga satu dimensi diperlukan nilai koefisien subgrade reaction (Kh) untuk mensimulasikan kekakuan tanah. Namun, belum banyak studi yang mengkalibrasi nilai Kh pada analisis metode elemen hingga satu dimensi. Dengan demikian, tujuan penelitian ini adalah melakukan kalibrasi nilai Kh dengan menggunakan program berbasis metode elemen hingga satu dimensi, TORS 3. Kalibrasi dilakukan dengan membandingkan nilai deformasi dinding dari TORS 3 dengan hasil analisis metode elemen hingga tiga dimensi, PLAXIS 3D. Kasus yang digunakan di dalam penelitian ini adalah kasus galian dalam di Jakarta Pusat dan modifikasi kasus galian dalam di Jakarta Pusat. Kasus modifikasi galian di Jakarta Pusat dibagi menjadi analisis tanpa buttress wall dan dengan buttress wall. Hasil deformasi dinding menggunakan program TORS 3 serupa dengan hasil pengukuran di lapangan dan program PLAXIS 3D. Nilai Kh untuk kasus galian dalam di Jakarta Pusat berada pada rentang persamaan Ou dan Akao-Gaoqiao. Sedangkan pada kasus modifikasi galian dalam di Jakarta Pusat memiliki nilai Kh yang serupa dengan persamaan Akao-Gaoqiao. Penambahan buttress wall menyebakan nilai Kh meningkat sebesar 62% dalam kasus modifikasi galian dalam di Jakarta Pusat.

Kata kunci: Buttress Wall, Metode Elemen Hingga Satu Dimensi, Metode Elemen Hingga Tiga Dimensi, Deformasi Dinding, Koefisien Subgrade Reaction.

CALIBRATION STUDY OF DIAPHRAGM WALL DEFORMATION WITH ONE-DIMENSIONAL AND THREE- DIMENSIONAL FINITE ELEMENT METHODS IN DEEP EXCAVATION WITH AND WITHOUT BUTTRESS WALL

Roy Adrianto

NPM: 2016410003

Advisor: Aswin Lim, Ph.D.

Co-Advisor: Ignatius Tommy Pratama, S.T., M.S.

**PARAHYANGAN CATHOLIC UNIVERSITY
FACULTY OF ENGINEERING DEPARTMENT OF CIVIL ENGINEERING**

(Accredited by SK BAN-PT Nomor: 1788/SK/BAN-PT/Akred/S/VII/2018)

**BANDUNG
FEBRUARY 2021**

ABSTRACT

Generally, the analysis of wall deformation with and without buttress wall carried out using the three-dimensional and one-dimensional finite element method approach. In the one-dimensional finite element method, the subgrade reaction coefficient (K_h) is required to simulate the soil stiffness. Nonetheless, the number of researchers who have calibrated the K_h value in the one-dimensional finite element analysis method is still limited. Consequently, this study intends to calibrate the K_h value using a program based on the one-dimensional finite element named TORSA 3. The calibration was carried out by comparing the wall deformation value of TORSA 3 with the analysis of the three-dimensional finite element method, PLAXIS 3D. The topic used in this research is the deep excavation in Central Jakarta and the modification of the case of deep excavation in Central Jakarta. The circumstances of the excavation modification in Central Jakarta are divided into analyzes with and without buttress walls. The result of wall deformation using the TORSA 3 program is similar to the consequences of measurements in the field and the PLAXIS 3D program. The K_h value for the excavation case in Central Jakarta falls within the Ou and Akao-Gaoqiao equations range. Whereas in the case of modification, Central Jakarta has a K_h value similar to the Akao-Gaoqiao equation. The buttress's addition affected the K_h value to expand by 62% in deep excavation modification in Central Jakarta.

Keyword: Buttress Wall, One-Dimensional Finite Element Method, Three-Dimensional Finite Element Method, Wall Deformation, Subgrade Reaction Coefficient

PRAKATA

Puji dan Syukur penulis panjatkan kepada Tuhan Yang Maha Esa atas berkat dan kasih-Nya, penulis dapat menyelesaikan skripsi yang berjudul “Studi Kalibrasi Deformasi Dinding Diafragma Dengan Metode Elemen Hingga Satu Dimensi dan Tiga Dimensi Pada Galian Dalam Dengan dan Tanpa Buttress Wall” dapat diselesaikan dengan baik.

Penulis menyadari bahwa proses ini tidak akan dapat terselesaikan dengan baik tanpa adanya dukungan moral, bimbingan, dan motivasi dari berbagai pihak. Penulis menyadari bahwa kehadiran beberapa pihak sangat berpengaruh terhadap kesuksesan skripsi ini.

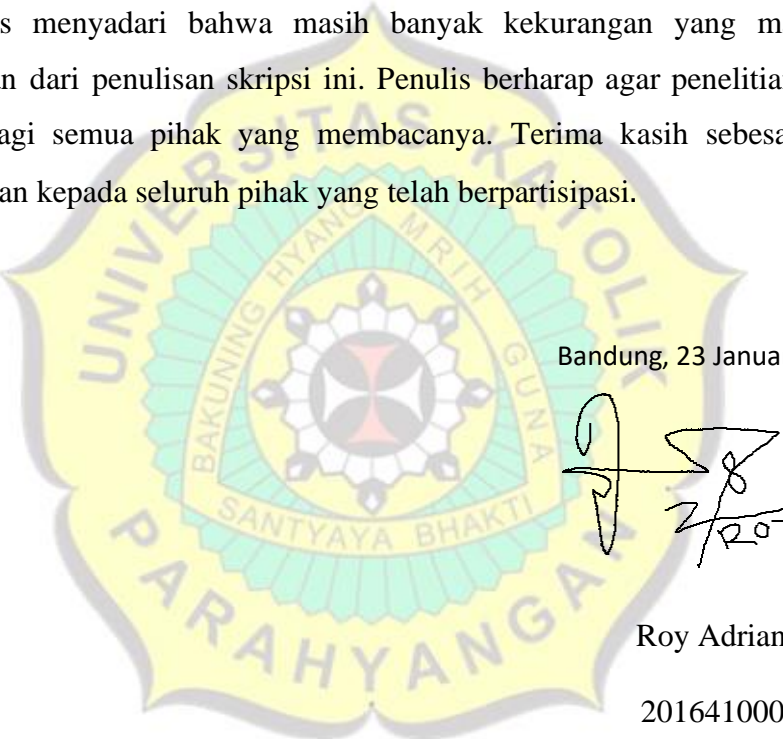
Oleh karena itu, penulis ingin menyampaikan ucapan terima kasih yang sebesar-besarnya kepada semua pihak yang telah membantu, khususnya kepada:

- 1.□ Kedua orang tua, Pudjianto dan Mari Surjani Handoko yang selalu memberikan doa dan dukungan kepada penulis baik secara moral maupun materiil
- 2.□ Saudara dan keluarga penulis, Martin Adrianto dan Tonny Adrianto yang senantiasa memberikan semangat hingga skripsi ini dapat terselesaikan
- 3.□ Bapak Aswin Lim, Ph.D dan Bapak Ignatius Tommy Pratama, S.T., M.S. selaku dosen pembimbing dan ko-pembimbing yang telah memberikan ilmu, arahan, serta membantu kelancaran proses skripsi ini
- 4.□ Segenap Dosen KBI Geoteknik yang sudah membantu studi saya di Teknik Sipil Universitas Parahyangan, Bapak Prof. Paulus Pramono Rahardjo, Ph.D, Ibu Siska Rustiani, Ir., MT, Anastasia Sri Lestari, Ir., MT, Eric Ng Yin Kuan, Ir., MT, Budijanto Widjaja, Ph.D, dan semua asisten geoteknik.
- 5.□ Seluruh teman-teman angkatan 2015 dan 2016 dan teman-teman seperjuangan lainnya yang telah memberikan bantuan dan dukungan moral

- 6.□Sherly Laurensia yang telah membantu menyemangati dan membantu penyelesaian skripsi ini
- 7.□Ibu Theresita Herni S., Ir., MT. dan Bapak Adrian Firdaus, S.T., M.Sc. yang sudah memberikan bantuannya dalam berdinamika di Universitas Parahyangan, serta dosen- dosen lainnya yang telah bersedia memberikan pengetahuan yang sangat bermanfaat selama perkuliahan
- 8.□Semua pihak yang tidak dapat disebutkan satu persatu telah membantu memberikan dukungan moral sehingga semua proses skripsi dapat terselesaikan

Penulis menyadari bahwa masih banyak kekurangan yang masih harus disempurnakan dari penulisan skripsi ini. Penulis berharap agar penelitian ini dapat bermanfaat bagi semua pihak yang membacanya. Terima kasih sebesar-besarnya penulis ucapan kepada seluruh pihak yang telah berpartisipasi.

Bandung, 23 Januari 2021



Roy Adrianto

2016410003

DAFTAR ISI

ABSTRAK	vii
ABSTRACT	xi
PUSTAKA	xiv
DAFTAR ISI	vii
DAFTAR NOTASI	xi
DAFTAR GAMBAR	xiii
DAFTAR TABEL	xvii
DAFTAR LAMPIRAN	xxix
BAB 1 PENDAHULUAN	1
1.1 Latar Belakang	1
1.2 Inti Permasalahan	2
1.3 Tujuan Penelitian.....	2
1.4 Lingkup Penelitian	2
1.5 Metode Penelitian.....	3
1.6 Sistematika Penulisan.....	3
1.7 Diagram Alir	4
BAB 2 DASAR TEORI	6
2.1 Galian Dalam.....	6
2.2 Top-down Construction Method	6
2.3 Dinding Diafragma.....	8
2.4 Buttress Wall	9
2.5 Metode Elemen Hingga Satu Dimensi dan Pendekatan Balok Pegas	9
2.6 Koefisien <i>Subgrade Reaction</i> (Kh)	13

2.7	Tekanan Tanah Aktif dan Pasif pada Tanah Lempung.....	14
2.8	Tekanan Tanah <i>at-rest</i> pada Tanah Lempung	14
2.9	Peningkatan dengan Penambahan <i>Buttress Wall</i>	15
2.9.1	Parameter Kekuatan Tanah Ekuivalen	15
2.9.2	Konstata Pegas Tanah Ekuivalen	16
2.10	Metode Elemen Hingga Tiga Dimensi.....	16
2.11	<i>Hardening Soil Model</i>	16
	BAB 3 Metodologi penelitian.....	18
3.1	Prosedur Analisis program TORSA 3.....	18
3.1.1	Pemasukan (<i>Input</i>).....	18
3.1.2	Perhitungan.....	22
3.1.3	Keluaran (<i>Output</i>).....	22
3.2	Prosedur Analisis Program PLAXIS 3D V20.....	23
3.2.1	Pemasukan (<i>Input</i>).....	24
3.2.2	Perhitungan.....	27
3.2.3	Keluaran (<i>Output</i>).....	27
	BAB 4 ANALISIS DATA.....	28
4.1	Proyek Galian Dalam di Jakarta Pusat.....	28
4.1.1	Analisis Deformasi Dinding Diafragma Menggunakan PLAXIS dan TORSA 3	29
4.1.2	Penentuan Parameter Tanah	29
4.1.3	Penentuan Parameter Struktur	33
4.1.4	Tahapan Konstruksi	33
4.1.5	Hasis Analisis Defromasi Dinding Diafragma	39

4.2	Kasus Modifikasi Galian dalam Jakarta Pusat	45
4.3	Analisis Modifikasi Galian dalam Jakarta Pusat Tanpa Buttress.....	47
4.3.1	Penentuan Parameter Tanah.....	48
4.3.2	Penentuan Parameter Struktur.....	49
4.3.3	Tahapan Konstruksi	50
4.3.4	Hasis Analisis Defromasi Dinding Diafragma.....	55
4.4	Analisis Modifikasi Galian dalam Jakarta Pusat Dengan Buttress	58
4.4.1	Penentuan Parameter Tanah.....	58
4.4.2	Penentuan Parameter Struktur.....	59
4.4.3	Tahap Konstruksi	60
4.4.4	Hasis Analisis Defromasi Dinding Diafragma.....	66
	BAB 5 KESIMPULAN DAN SARAN	71
5.1	Kesimpulan.....	71
5.2	Saran.....	72
	Daftar Pustaka	xvii

DAFTAR NOTASI

Pa	= Tekanan Tanah Lateral Aktif (kPa)
Pp	= Tekanan Tanah Lateral Pasif (kPa)
Ka	= Koefisien Tekanan Lateral Aktif
Kp	= Koefisien Tekanan Lateral Pasif
K ₀	= Koefisien Tekanan Lateral <i>At-rest</i>
\bar{K}_0	= Modifikasi Koefisien Tekanan Lateral <i>At-rest</i>
σ'_v	= Tegangan Tanah Efektif (kPa)
σ_v	= Tegangan Tanah Total (kPa)
u_w	= Tekanan Hidrostatis (kPa)
δ	= Gesekan Antara Tanah dan Dinding (°)
ϕ	= Sudut Geser Tanah Total (°)
ϕ'	= Sudut Geser Tanah Efektif (°)
c	= Kekuatan Geser Tanah (kPa)
c'	= Kekuatan Geser Tanah Efektif (kPa)
Su	= Kuat Geser Tanah Tak Terdrainase (kPa)
Suw	= Adhesi Antara Dinding dengan Tanah (kPa)
Su*	= Kuat Geser Tanah Tak Terdrainase Ekuivalen (kPA)
OCR	= <i>Over Consolidated Ratio</i>
Kh	= Modulus <i>Subgrade Reaction</i> (kN/m ³)
Kh*	= Modulus <i>Subgreade Reaction</i> Ekuivalen (kN/m ³)
[K]	= Matriks Kekakuan Global
[k ^e]	= Matriks Kekakuan Elemen
{q}	= Matriks Perpindahan Nodal
{p}	= Matriks Beban
v	= <i>Poisson's Ratio</i>
v'	= <i>Poisson's Ratio</i> Efektif
v _{ur}	= <i>Unloading-Reloading Poisson's Ratio</i>
E_{50}^{ref}	= Modulus Elastisitas Tanah <i>Secant Stiffness</i> Referensi
E_{oed}^{ref}	= Modulus Elastisitas Tanah <i>Oedometer</i> Referensi

E_{ur}^{ref} = Modulus Elastisitas Tanah *Unloading/Reloading* Referensi

Ψ = Sudut Dilatansi ($^{\circ}$)

γ = Berat Isi Tanah (kN/m³)

f_c' = Mutu Kuat Tekan Beton (Mpa)

N = Nilai N-SPT



DAFTAR GAMBAR

Gambar 1.1 Diagram Alir Penelitian	4
Gambar 1.2 Diagram Alir Lanjutan	5
Gambar 2.1 Ilustrasi <i>Top-down Construction Method</i>	8
Gambar 2.2 Ilustrasi <i>Buttress wall</i> (a) Tampak Atas (b) Potongan A-A	9
Gambar 2.3 Pendekatan Balok-Pegas	10
Gambar 2.4 Elemen Balok Dengan 2 Noda dan 2 <i>Degree of Freedom</i>	11
Gambar 2.5 Distribusi Gaya Pada Balok Dengan 2 <i>Degrees of Freedom</i>	12
Gambar 2.6 Diagram Model <i>Elasto-Plastic</i>	13
Gambar 2.7 Asumsi Muka Air Tanah ke Bagian Sangat Dalam	15
Gambar 2.8 Hubungan Hiperbolik Regangan-Regangan Pada Hasil Uji <i>triaxial</i>	17
Gambar 3.1 <i>Basic Data</i>	18
Gambar 3.2 Tipe dan Kekakuan Dinding	19
Gambar 3.3 Contoh Input Parameter Buttress Wall	20
Gambar 3.4 Contoh Input Parameter Tanah	20
Gambar 3.5 Menu Perhitungan	22
Gambar 3.6 Contoh Hasil Diagram DMS	23
Gambar 3.7 Hasil Keseluruhan Proyek	23
Gambar 3.8 <i>Project Properties</i> PLAXIS 3D V20	24
Gambar 3.9 Contoh <i>Input Layer</i> Tanah dan Muka Air Tanah	25
Gambar 3.10 Opsi Pemodelan <i>Plate Element, Positive</i> dan <i>Negative Interface</i>	25
Gambar 3.11 Opsi <i>Generate Mesh</i>	26
Gambar 3.12 Phase Explorer Program PLAXIS 3D V20	26
Gambar 3.13 Opsi <i>Calculate</i>	27
Gambar 3.14 Opsi <i>View Calculation Results</i>	27
Gambar 4.1 Lokasi Galian Dalam di Jakarta Pusat, Indoensia	28
Gambar 4.2 Profil Tanah (Hsiung et al. 2018)	29
Gambar 4.3 Profil Uji Bor (a) Plastic Limit, Water Content, dan Liquid Limit (b) Sand Content (c) Fine Content (d) Void Ratio (Hsiung et al. 2018)	30

Gambar 4.4 Profil Uji Bor (a) SPT-N (b) CPT-Cone Resistance (c) CPT-Friction Resistance (d) Shear Wave Velocity (Hsiung et al. 2018)	31
Gambar 4.5 Undrained Shear Strength (Hsiung et al. 2018).....	31
Gambar 4.6 Tahap pertama (Galian Jakarta Pusat, Indonesia).....	34
Gambar 4.7 Tahap kedua: Galian Pertama (a) PLAXIS 3D dan (b) TORSA 3 (Galian Jakarta Pusat, Indonesia)	34
Gambar 4.8 Tahap Ketiga: Pemasangan <i>Deck Slab</i> (a) PLAXIS 3D dan (b) TORSA 3 (Galian Jakarta Pusat, Indonesia)	35
Gambar 4.9 Tahap keempat: Galian Kedua (a) PLAXIS 3D dan (b) TORSA 3 (Galian Jakarta Pusat, Indonesia)	35
Gambar 4.10 Tahap Kelima: Pemasangan <i>Top Slab</i> (a) PLAXIS 3D dan (b) TORSA 3 (Galian Jakarta Pusat, Indonesia)	36
Gambar 4.11 Tahap keenam: Galian Ketiga (a) PLAXIS 3D dan (b) TORSA 3 (Galian Jakarta Pusat, Indonesia)	36
Gambar 4.12 Tahap Ketujuh: Pemasangan <i>Middle Slab</i> (a) PLAXIS 3D dan (b) TORSA 3 (Galian Jakarta Pusat, Indonesia)	37
Gambar 4.13 Tahap kedelapan: Galian Keempat (a) PLAXIS 3D dan (b) TORSA 3 (Galian Jakarta Pusat, Indonesia)	37
Gambar 4.14 Tahap kesembilan: Galian Kelima (a) PLAXIS 3D dan (b) TORSA 3 (Galian Jakarta Pusat, Indonesia)	38
Gambar 4.15 Tahap kesepuluh: Pemasangan <i>Bottom Slab</i> (a) PLAXIS 3D dan (b) TORSA 3	38
Gambar 4.16 Nilai K_h menurut Ou dan Akao-Gaoqiao	39
Gambar 4.17 Nilai Deformasi Ou dan Akao-Gaoqiao	40
Gambar 4.18 Defromasi Dinding Tahap 2	41
Gambar 4.19 Deformasi Dinding a) Tahap 4 dan b) tahap 6	42
Gambar 4.20 Deformasi Dinding a) Tahap 8 dan b) tahap 9	43
Gambar 4.21 Nilai K_h <i>Back Analysis</i>	44
Gambar 4.22 Geometri Kasus Modifikasi Galian Dalam Di Jakarta Pusat.....	46
Gambar 4.23 Profil Galian Kasus Modifikasi Galian Dalam Di Jakarta Pusat	47

Gambar 4.24 Tahap pertama.....	50
Gambar 4.25 Tahap kedua: Galian Pertama (a) PLAXIS 3D dan (b) TORSA 3	50
Gambar 4.26 Tahap Ketiga: Pemasangan <i>Deck Slab</i> (a) PLAXIS 3D dan (b) TORSA 3.....	51
Gambar 4.27 Tahap keempat: Galian Kedua (a) PLAXIS 3D dan (b) TORSA 3	51
Gambar 4.28 Tahap Kelima: Pemasangan <i>Top Slab</i> (a) PLAXIS 3D dan (b) TORSA 3	52
Gambar 4.29 Tahap keenam: Galian Ketiga (a) PLAXIS 3D dan (b) TORSA 3	52
Gambar 4.30 Tahap Ketujuh: Pemasangan <i>Middle Slab</i> (a) PLAXIS 3D dan (b) TORSA 3	53
Gambar 4.31 Tahap kedelapan: Galian Keempat (a) PLAXIS 3D dan (b) TORSA 3	53
Gambar 4.32 Tahap kesembilan: Galian Kelima (a) PLAXIS 3D dan (b) TORSA 3 (Galian Jakarta Pusat, Indonesia).....	54
Gambar 4.33 Tahap kesepuluh: Pemasangan <i>Bottom Slab</i> (a) PLAXIS 3D dan (b) TORSA 3	54
Gambar 4.34 Grafik Defromasi Dinding	55
Gambar 4.31 Nilai K_h <i>Back Analysis</i>	57
Gambar 4.36 Tahap pertama.....	61
Gambar 4.37 Tahap kedua: Galian Pertama (a) PLAXIS 3D dan (b) TORSA 3	61
Gambar 4.38 Tahap Ketiga: Pemasangan <i>Deck Slab</i> (a) PLAXIS 3D dan (b) TORSA 3.....	62
Gambar 4.39 Tahap keempat: Galian Kedua (a) PLAXIS 3D dan (b) TORSA 3	62
Gambar 4.40 Tahap Kelima: Pemasangan <i>Top Slab</i> (a) PLAXIS 3D dan (b) TORSA 3	63
Gambar 4.41 Tahap keenam: Galian Ketiga (a) PLAXIS 3D dan (b) TORSA 3	63
Gambar 4.42 Tahap Ketujuh: Pemasangan <i>Middle Slab</i> (a) PLAXIS 3D dan (b) TORSA 3	64
Gambar 4.43 Tahap kedelapan: Galian Keempat (a) PLAXIS 3D dan (b) TORSA 3	64
Gambar 4.44 Tahap kesembilan: Galian Kelima (a) PLAXIS 3D dan (b) TORSA 3 (Galian Jakarta Pusat, Indonesia).....	65

Gambar 4.45 Tahap kesepuluh: Pemasangan <i>Bottom Slab</i> (a) PLAXIS 3D dan (b) TORSA 3	65
Gambar 4.46 Grafik Deformasi Dinding	66
Gambar 4.47 Nilai Kh^* <i>Back Analysis</i>	68



DAFTAR TABEL

Tabel 3.1 Jarak Spasi Noda Maksimum (m).....	19
Tabel 4.1 Parameter Tanah Dalam Program PLAXIS 3D (Hsiung et al. 2018)	32
Tabel 4.2 Parameter Tanah Yang Digunakan Dalam Program TORSA 3	32
Tabel 4.3 Parameter Input Dinding Diafragma (Hsiung et al. 2018).....	33
Tabel 4.4 Parameter Input <i>Slab</i>	33
Tabel 4.5 Nilai Kh <i>back analysis</i> beserta keterangan	45
Tabel 4.6 Pesamaan Kh <i>back analysis</i> berdasarkan kosistensi tanah	45
Tabel 4.7 Parameter Tanah Dalam Program PLAXIS 3D	48
Tabel 4.8 Parameter Tanah Yang Digunakan Dalam Program TORSA 3	48
Tabel 4.9 Parameter Input Dinding Diafragma.....	49
Tabel 4.10 Parameter Input <i>Slab</i>	49
Tabel 4.11 Nilai Kh <i>back analysis</i> beserta keterangan	56
Tabel 4.12 Pesamaan Kh <i>back analysis</i> berdasarkan kosistensi tanah	57
Tabel 4.13 Parameter Tanah Dalam Program PLAXIS 3D	58
Tabel 4.14 Parameter Tanah Yang Digunakan Dalam Program TORSA 3.....	59
Tabel 4.15 Parameter Input Dinding Diafragma.....	59
Tabel 4.16 Parameter Input <i>Buttress wall</i>	60
Tabel 4.17 Parameter Input <i>Slab</i>	60
Tabel 4.18 Nilai Kh^* <i>back analysis</i> beserta keterangan	67
Tabel 4.19 Pesamaan Kh^* <i>back analysis</i> berdasarkan kosistensi tanah	68
Tabel 4.20 Perbandingan nilai Kh penelitian dengan persamaan yang ada.....	69

DAFTAR LAMPIRAN

LAMPIRAN 1 GRAFIK AKAI-GAOQIAO.....	L1-1
LAMPIRAN 2 PERHITUNGAN \overline{Ko}	L2-1



BAB 1

PENDAHULUAN

1.1 Latar Belakang

Deformasi merupakan salah satu faktor yang perlu diperhatikan dalam desain dinding penahan tanah seperti *diaphgram wall*. Deformasi dinding berlebih dapat menyebabkan kegagalan pada galian dalam dan runtuhnya dinding penahan tanah. Metode yang digunakan untuk menurunkan nilai deformasi dinding secara berlebih yaitu dilakukannya perbaikan tanah, pemasangan dinding penopang (*buttress wall*), dan pemasangan *cross wall* (Hsieh *et al.* 2017).

Analisis galian dalam dengan perkuatan *buttress wall* merupakan permasalahan 3D. Namun, Pemodelan secara 3D, seperti menggunakan PLAXIS 3D relatif sulit dilakukan bagi kebanyakan orang dan membutuhkan banyak waktu. TORSA 3 memberikan solusi alternatif dapat analisis galian dengan dalam pengaku *buttress wall*. TORSA 3 merupakan program komputer berbasis metode elemen hingga satu dimensi, sehingga analisis dapat dilakukan dengan lebih mudah dan cepat. Belum banyak penelitian yang memverifikasi penerapan pendekatan satu dimensi dalam mensimulasikan perilaku tiga dimensi *buttress wall*. Maka, penulis akan melakukan kalibrasi pada nilai K_h , agar hasil analisis deformasi menggunakan pendekatan satu dimensi dapat serupa dengan pendekatan tiga dimensi.

Berdasarkan studi terdahulu, Dilakukan perbandingan antara analisis program berbasis metode elemen hingga tiga dimensi dengan hasil lapangan. Didapatkan bahwa nilai deformasi pada lapangan sebesar 26 mm sedangkan, hasil analisis PLAXIS 3D dengan pemodelan *rigid connection* sebesar 22 mm (Lim *et al.* 2017). Penelitian ini berfokus pada proyek DPB yang terletak di Taipei. Proyek DPB ini memiliki luas 1658 m² dengan kedalaman galian 19 m. Galian yang dilakukan dalam proyek ini menggunakan dinding diafragma dengan sistem penguat *buttress wall*. Pelapisan tanah pada lokasi ini didominasi oleh lapisan tanah lempung lunak.

1.2 Inti Permasalahan

Analisis dinding diafragma dengan perkuatan *buttress wall* merupakan permasalahan dari metode elemen hingga tiga dimensi. Pemodelan secara tiga dimensi membutuhkan banyak waktu yang lama dan susah dilakukan bagi kebanyakan orang. TORSA 3 merupakan program komputer yang dapat menganalisis dinding diafragma dengan perkuatan *buttress wall*. Program ini berbasis metode elemen hingga satu dimensi, sehingga dapat menjadi solusi untuk mempermudah dan mempercepat analisis. Belum banyak penelitian yang memverifikasi penerapan analisis satu dimensi dalam mensimulasikan perilaku tiga dimensi, terutama pada penggunaan *buttress wall*.

1.3 Tujuan Penelitian

Tujuan penelitian skripsi ini adalah melakukan kalibrasi terhadap nilai K_h pada program TORSA 3. Kalibrasi ini bertujuan agar, deformasi dinding diafragma dengan analisis satu dimensi dapat menghasilkan nilai yang serupa dengan hasil analisis tiga dimensi.

1.4 Lingkup Penelitian

Lingkup penelitian studi ini adalah:

- 1.□Desain dan acuan didapatkan melalui data sekunder.
- 2.□Analisis deformasi dinding diafragma dengan sistem pengaku *buttress wall* dengan metode elemen hingga tiga dimensi menggunakan program PLAXIS 3D
- 3.□Analisis deformasi dinding diafragma dengan sistem pengaku *buttress wall* dengan metode elemen hingga satu dimensi menggunakan program TORSA3.

1.5 Metode Penelitian

Metode yang digunakan dalam penelitian ini adalah sebagai berikut:

- 1.□Studi Pustaka. Tahapan ini bertujuan untuk memperoleh informasi dari berbagai sumber yang berkaitan dengan penelitian ini. Sumber yang digunakan berasal dari literatur, jurnal, artikel, manual, dan desain.
- 2.□Pengumpulan Data. Pengumpulan data yang diambil dari data sekunder.
- 3.□Pengolahan Data. Pengolahan data dilakukan dengan menggunakan teori-teori yang telah dikumpulkan yang digunakan untuk menganalisis data.

1.6 Sistematika Penulisan

Susunan dari penulisan ini dibagi menjadi 5 bab. Berikut 5 susunan penulisan tersebut:

1.□BAB I : PENDAHULUAN

Pada bab ini diuraikan menjadi latar belakang masalah, maksud dan tujuan penulisan, lingkup penelitian, sistematika penulisan yang dilakukan, metodologi dan diagram alir penggerjaan skripsi.

2.□BAB II : DASAR TEORI

Bab ini akan membahas mengenai teori-teori dasar yang berhubungan dengan deformasi pada dinding penahan tanah, pemasangan *buttress wall*.

3.□BAB III : METODOLOGI PENELITIAN

Tahapan ini akan menyajikan dan membahas data-data yang digunakan untuk analisis beserta proses analisis untuk mendapatkan data.

4.□BAB IV : ANALISIS DATA DAN PEMBAHASAN

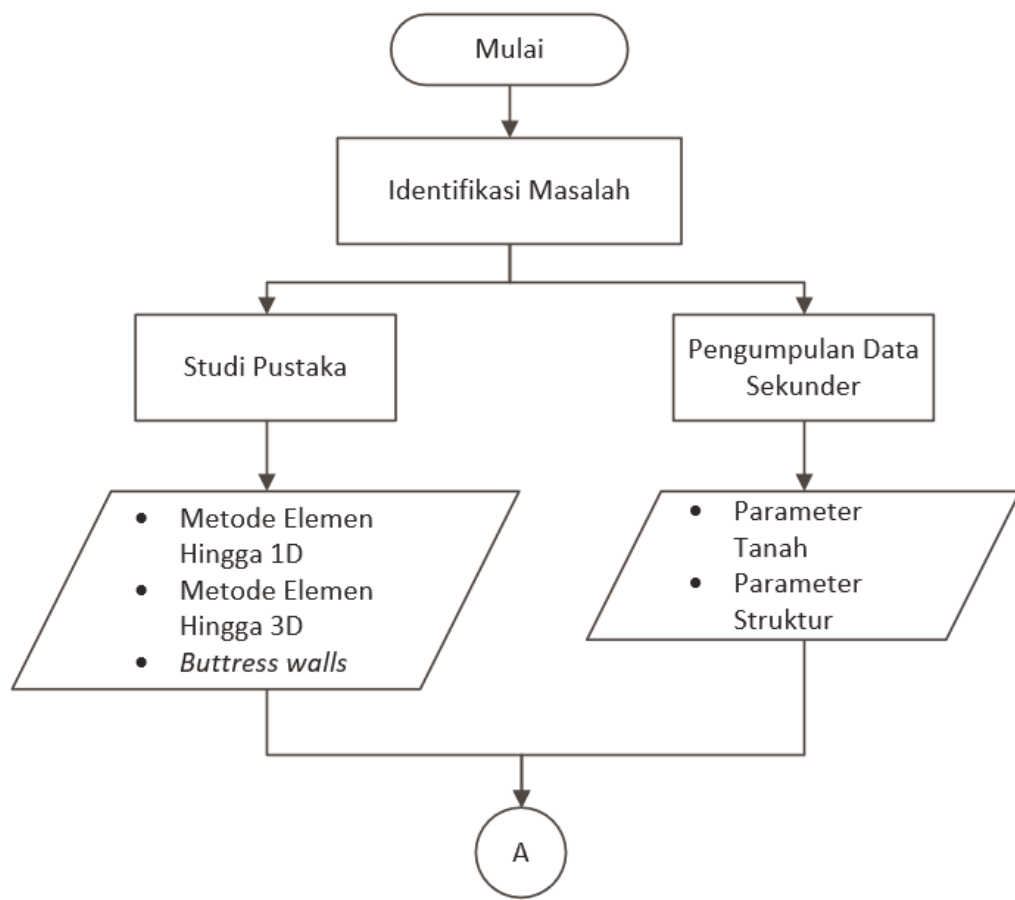
Bab ini akan memuat pemaparan mengenai dinding penahan tanah yang menjadi objek analisis, dasar parameter yang digunakan dalam analisis TORSA 3

5.□BAB V : PENUTUP

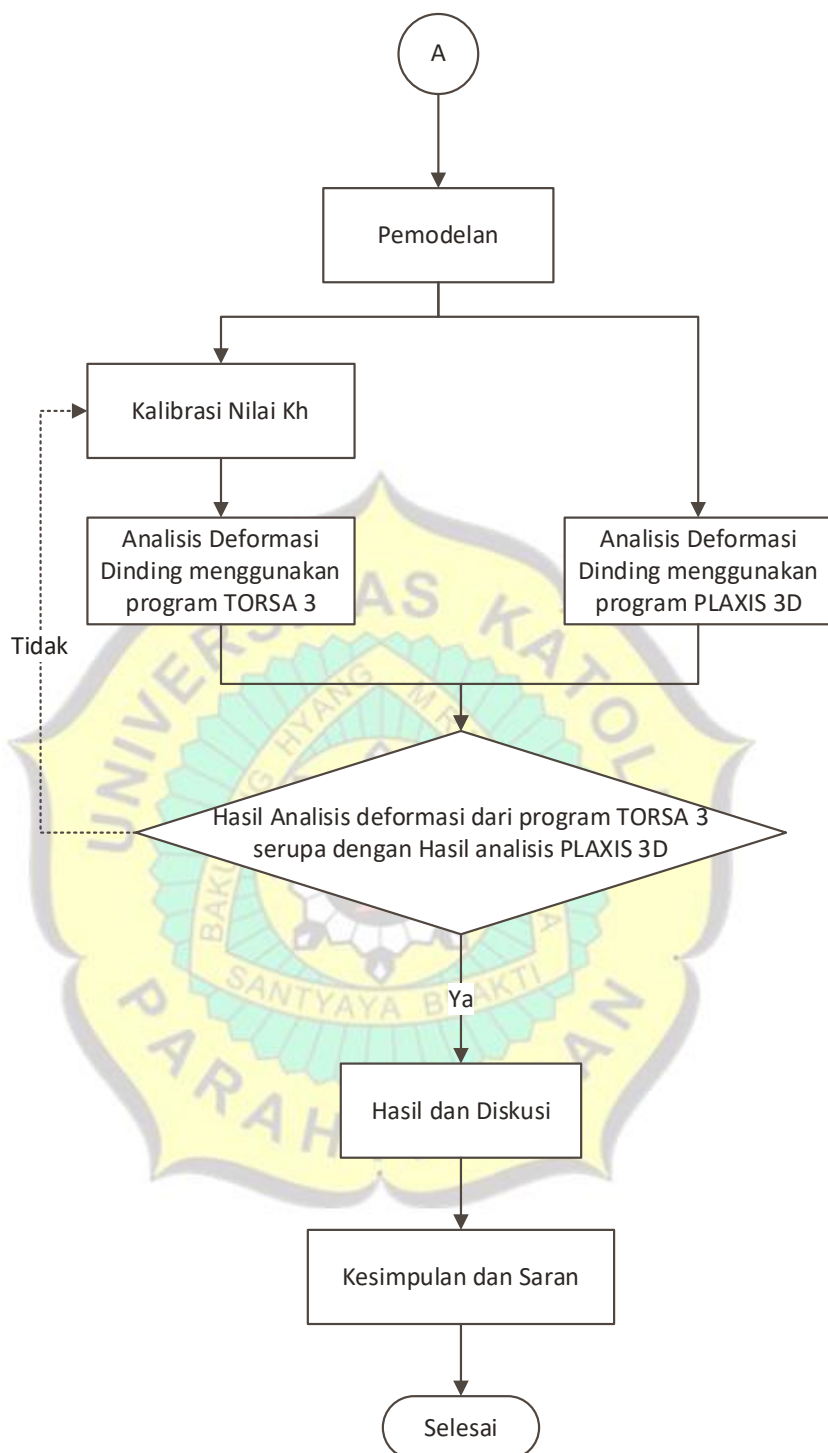
Bagian penutup memuat kesimpulan dan saran yang dilakukan oleh penulis.

1.7 Diagram Alir

Diagram alir penelitian ini digambarkan oleh Gambar 1.1 dan Gambar 1.2.



Gambar 1.1 Diagram Alir Penelitian



Gambar 1.2 Diagram Alir Lanjutan

